



ORIGINAL RESEARCH PAPER

Kinetic and biosorption isotherm studies on biosorption of nickel and cadmium by using *Halobacillus trueperi* isolated from factory wastewater entry into the Caspian Sea

Davood Siyamiyan Gorgi¹, Ayat Nasrolahi Omran², Salman Ahmady-Asbchin^{3*}

¹M.Sc Student of Biotechnology, Faculty of Basic Science, Islamic Azad University, Tonekabon Branch, Tonekabon, Iran

²Associate Professor of Microbiology, Faculty of Medicine Islamic Azad University Tonekabon Branch, Tonekabon, Iran

³Associate Professor of Microbiology, Faculty of Basic Science, University of Mazandaran, Babolsar, Iran

ARTICLE INFO

Article History:

Received: 2023/07/16

Revised: 2025/04/28

Accepted: 2025/03/5

Keywords:

Caspian Sea,

Toxic metals,

Microbial removal,

Isotherm

*Corresponding author:

sa.ahmadi@umz.ac.ir

Doi: [10.52547/joc.15.60.8](https://doi.org/10.52547/joc.15.60.8)

ORID: 0000-0001-6079-1842

ABSTRACT

Background and Objectives: The Caspian Sea is affected by many pollutants, including toxic and heavy metals, which enter the sea through rivers contaminated with urban and industrial wastewater. Heavy metal contamination in wastewater is a significant concern for human health and the environment, prompting increased efforts to develop efficient and sustainable removal methods. Despite significant efforts in the last few decades, further research initiatives remain vital to comprehensively address the long-term performance and practical scalability of various adsorption methods and adsorbents for heavy metal biosorption.

Methods: In this study, *Halobacillus trueperi* bacteria isolated from the waste paint factory Babol were studied molecularly from the perspective of biochemistry. The effects of parameters such as pH, temperature, concentration of metal-on-metal ions, and removal efficiency of nickel and cadmium were investigated. Using the techniques of Fourier transform infrared (FT-IR) and scanning electron microscopy (SEM), effective bio-absorption was analyzed.

Findings: The highest adsorption rate of cadmium and nickel metal ions was observed by bacteria studied at pH of about 6 and 7, respectively, so that higher pH was observed due to metal ion deposition, and lower pH due to reduced adsorption competition. The best temperature for adsorption in both metals was about 40 degrees Celsius. Kinetics showed that the adsorption of metal ions in the opening minutes of rapid reaction kinetics has gradually reduced slope. The highest metal removal is performed in the first 15 minutes and then slowly continued adsorption and equilibrium within 90 minutes. This is especially important in an industry that in a very short time the bacteria can remove more metal from an aqueous solution. Isogram Langmuir described the adsorption of cadmium and nickel metals well by equilibrium experimental data.

Conclusion: Results showed that maximum absorption of metal uptake (maximum adsorption capacity of the adsorbent) in about 0/5 and 0/7 mmol per gram (mmol / g) dry absorbent. SEM analysis showed that the metals were absorbed by bacterial surface groups. After contact with the bacterium, the surface shape of the bacterium changed. Most of the adsorption of metals is inactive, so this adsorbent can be used dead and inactive.

NUMBER OF TABLES

3

NUMBER OF FIGURES

10

NUMBER OF REFERENCES

25

مقاله پژوهشی

مطالعات سینتیک و ایزوترم جذب زیستی فلزات سنگین نیکل و کادمیم توسط باکتری *Halobacillus trueperi* جداسازی شده از پساب کارخانه ورودی به دریای مازندران

داود صیامیان گرجی^۱، آیت نصرالهی عمران^۲، سلمان احمدی اسب چین^{۳*}

^۱ دانشجوی کارشناسی ارشد، دانشکده علوم زیستی، دانشگاه آزاد اسلامی واحد تنکابن، تنکابن، ایران

^۲ دانشیار میکروبیولوژی، دانشکده علوم پزشکی، دانشگاه آزاد اسلامی واحد تنکابن، تنکابن، ایران

^۳ دانشیار میکروبیولوژی، دانشکده علوم، دانشگاه مازندران، بابلسر، ایران

اطلاعات مقاله

چکیده

پیشینه و اهداف: دریای مازندران، بوسیله آلودگی های زیادی تحدید می شود، یکی از این الینده ها، فلزهای

تاریخ دریافت: ۱۴۰۳/۴/۲۵

سمی و سنگین هستند، که از طریق رودخانه های آلووده به فاضلاب های شهری و صنایع، وارد دریا می گردند. آلودگی فلزات سنگین در فاضلاب یک نگرانی قابل توجه برای سلامت انسان و محیط زست است که باعث افزایش تلاش ها برای توسعه روش های حذف کارآمد و پایدار می شود. علی رغم تلاش های قابل توجه در چند دهه اخیر، ابتکارات تحقیقاتی بیشتر برای رسیدگی جامع به عملکرد بلندمدت و مقیاس پذیری عملی روش های مختلف جذب و جاذب ها برای جذب فلزات سنگین حیاتی است.

تاریخ بازبینی: ۱۴۰۴/۲/۸

تاریخ پذیرش: ۱۴۰۳/۱۲/۱۵

روش ها: در این پژوهش باکتری گرم مثبت *Halobacillus trueperi* جداسازی شده از پساب کارخانه تولید رنگ بابل ورودی به دریای مازندران، از منظر بیوشیمیایی، مولکولی مورد بررسی قرار گرفته، و سپس اثر پارامترهای مانند pH، درجه حرارت، غلظت فلز بر بازده حذف یون های فلزی نیکل و کادمیم بررسی شد. با استفاده از تکنیک های طیفسنجی تبدیل فوریه زیرقرمز (FT-IR) و میکروسکوپی الکترون روبشی (SEM) سطوح درگیر در جذب زیستی مورد تجزیه و تحلیل قرار گرفت.

واژگان کلیدی:

دریای مازندران

یافته ها: بیشترین مقدار جذب یون های فلزی کادمیم و نیکل به وسیله باکتری مورد مطالعه در pH حدود ۶ و ۷ به ترتیب بود، به طوری که در pH های بالاتر در مورد یون های فلزی بدیل رسوپ یون فلزی، و در pH های پایین تر بدیل رقابت کاهش جذب مشاهده شد. بهترین دما برای جذب در هر دو فلز حدود ۴۰ درجه سانتی گراد بوده است. بررسی سینتیک نشان داد، فرایند جذب یون های فلزی در دقایق آغازین واکنش از سینتیک سریعی برخوردار است که به تدریج از شبیه آن کاسته می شود. بیشترین میزان حذف یون های فلزی در ۱۵ دقیقه ای اول صورت می - گیرد و در بعد از آن فرایند جذب به آرامی ادامه یافته و در مدت زمان ۹۰ دقیقه به تعادل می رسد. این موضوع از آن جهت حایز اهمیت صنعتی است که در مدت زمان کم باکتری می تواند بیشتر فلز ها را از محلول آبی حذف نماید. ایزوترم لانگمویر، توسط داده های تجربی تعادلی جذب فلزات کادمیم و نیکل را به خوبی توصیف نمود.

فلزات سمی

حذف میکروبی

ایزوترم

*نویسنده مسئول

✉ sa.ahmadi@umz.ac.ir

Doi: 10.52547/joc.15.60.8

ORID: 0000-0001-6079-1842

نتیجه گیری: نتایج جذب نشان داد که بیشترین مقدار جذب فلز (ظرفیت جذب بیشینه) جاذب در حدود ۰/۵ و ۰/۷ میلی مول بر گرم جاذب خشک است. آنالیز SEM نشان داد، که فلز های مذکور جذب گروههای سطحی باکتری گردیدند، به طوریکه بعد از تماس با باکتری فرم شکل سطحی باکتری دچار تغییر گردید. بیشتر جذب فلز ها به صورت غیرفعال است در نتیجه می توان از این جاذب به صورت مرده و غیرفعال نیز استفاده کرد.

مقدمه

پیشرفت روزافزون صنایع در دهه اخیر مهم‌ترین عامل آلودگی محیط زیست بوده و پساب‌های صنایع مختلف مانند چرمسازی، استخراج معادن و پتروشیمی باعث ورود مقادیر زیادی از فلزات سنگین مانند کروم، کادمیم، نیکل، کبالت، روی و سرب به محیط زیست می‌شود. حضور فلزات سمی در محیط اثرات زیست‌بازاری در سلامت انسان و حیوانات داشته و موجب برهمن خوردن تعادل و نظم اکوسيستم می‌شود (Abdel El-Latif et al., 2009:252-268).

حفظ محیط زیست از آلودگی‌هایی که به‌وسیله‌ی صنایع و فناوری مدرن ایجاد می‌شود، یکی از نگرانی‌های امروزی پژوهش‌گران و صاحبان صنایع است. در این میان، از مهم‌ترین آلاینده‌های محیط زیست، فلز سنگین کادمیم و نیکل است (Al-Ashesh et al., 1997:35-51).

در خصوص فلز سمی و سنگین کادمیم بیان شده است، وقتی در خاک وجود داشته باشد، بسیار خطرناک است و جذب آن از طریق غذا افزایش می‌یابد. در خاک‌های اسیدی، گیاهان کادمیم بیشتری را جذب می‌کنند. در نتیجه زندگی و بقای جانورانی که از این گیاهان تغذیه می‌کنند به خطر می‌افتد. به همین علت میزان کادمیم در کلیه گاوها افزایش می‌یابد (Al-Gheethi et al., 2017:1700356). جانورانی مانند، کرم‌های خاکی و دیگر ارگانیسم‌های خاک به سم کادمیم بسیار حساسند. غلظت بسیار کم این ماده هم آنها را از بین می‌برد و در نتیجه ساختار خاک تغییر می‌کند. هنگامی که غلظت کادمیم در خاک بالا باشد، فرآیندهایی که میکروارگانیسم‌ها در خاک انجام می‌هند، مختل می‌شود و کل اکوسيستم خاک در معرض خطر قرار می‌گیرد (Amini et al., 2008:694-702).

فلز نیکل هم از طریق منابع طبیعی و هم با فعالیت انسانی به محیط زیست وارد می‌شود. این فلز در هوا، آب، خاک و مواد زیستی نیز وجود دارد. نیکل هم به صورت فلز و هم به صورت ترکیب محلول می‌تواند وجود داشته باشد (Ahluwalia et al., 2007:2243-2257). بخار سولفید نیکل سلطان زا می‌باشد که در موقع استفاده از آن باید دقت لازم را به عمل آورد. از لحاظ تقسیم بندی برنامه سمشناسی ملی آمریکا NTP¹ نیکل و ترکیبات آن جزو عوامل سرطانزا محسوب می‌شوند (Amoozegar et al., 2015:355-378). براساس بررسی‌های سازمان‌های بهداشت جهانی² مشخص شده است که تعداد زیادی از مردم به طرق مختلف در معرض مخاطرات ناشی از جذب فلزات سنگین قرار دارند. حذف فلزات سنگین به صورت کلی از دو منظر اهمیت دارد، جداسازی و خنثی کردن اثرات فلزات سنگین سمی از پساب‌های صنعتی، زهکش‌های کشاورزی و معادن و از طرف دیگر بازیابی فلزات که به دلیل کاهش تدریجی منابع معدنی آن‌ها موضوعی ضروری است (Aneja et al., 2010:438-442).

جذب زیستی به عنوان روش مناسب برای حذف مقادیر کم فلزات سنگین از پساب‌های صنعتی مطرح شده است. مطالعات محققین نشان داده است

که روش‌های زیستی می‌تواند شرایط اقتصادی‌تر و کارآمدتری را در مقایسه با بسیاری از روش‌های فیزیکی و شیمیایی فراهم کند (Ansari et al., 2007:3149-3153).

روش زیستی می‌تواند، به وسیله‌ی سلول‌های زنده، مرده و ترکیبات ترشح شده از سلول‌ها مثل انواع متabolیت‌های سلولی، ترکیبات پلی-ساکاریدی و دیگر اجزای دیواره سلولی انجام شود. سازوکارهای جذب به وسیله‌ی سلول‌های مرده و زنده با هم متفاوت است و میزان جذب، ظرفیت پذیرش و تغليظ فلزات در میکروارگانیسم‌های مختلف نیز یکسان نیست (Carletti et al., 2013:1329-1336).

فاضلابی که به تصفیه خانه‌ی شهری می‌رسد، مجموع فاضلاب‌هایی است که از سه منبع مختلف، در شبکه فاضلاب وارد می‌شود. این سه منبع عبارت‌اند از: فاضلاب خانگی، نشت آب، و پساب صنعتی. بنا بر تعریف، مجموعه‌ی فاضلاب حاصل از سه منبع مذکور را فاضلاب شهری یا فاضلاب بهداشتی می‌نامند (Jabar Nezhad Kermani et al., 2010:279-286).

وقتی نگرانی‌های انسان زیاد می‌شود که بدانیم روش‌های تصفیه‌ی فیزیکی و شیمیایی برای چنین پساب‌هایی نمی‌تواند با استانداردهای زیست-محیطی تطبیق کند، زیرا اغلب روش‌های فیزیکی و شیمیایی هنگامی که غلظت‌های فلزات سنگین و سمی در محیط‌های آلوده در گستره‌ی ۱۰ تا ۱۰۰ میلی گرم بر لیتر باشد، غیر موثر و غیر اقتصادی است (Das et al., 2012:341-352). در حالی که غلظت مجاز یون‌های فلزات سنگین بر طبق نظر آژانس حفاظت محيط زیست ایالات متحده³ کمتر از ۱ میلی گرم بر لیتر است (Aeanda-Garcia 2018:94).

مهم‌ترین جایگاه‌های جذبی‌ای مکان‌های اتصال یون فلزی در باکتری‌ها شامل کپسول ولایه‌ی چسبنایک هستند که به عنوان یک بافر بین باکتری و محیط بیرون عمل می‌کنند و جنس اکثر آن‌ها پلی‌ساکارید بوده و واحد گروه‌ای هیدروکسیل، کربوکسیل، آمین و غیره است که در اتصال به یون فلزی نقش دارند. نقش این ترکیبات در جذب زیست‌شناختی میکروبی بوسیله وولسکی و همکاران اثبات شده است (Ayanbenro et al., 2017:94).

کارلتی و همکاران در پژوهش خود نشان دادند که سیستم بیوراکتور غشایی قادر به حذف ۷۰٪ فلزات سمی مانند سرب، آهن، کادمیوم، مس و نیکل از نمونه حقیقی پساب بود (Carletti et al., 2013:1329-1336). جباری نژاد و همکاران به مطالعه باکتری سودوموناس آریوزنوز⁴ به عنوان جاذب زیستی کادمیم پرداختند و نشان دادند، توانایی حذف فلز کادمیم از محلول آبی در حدود ۹۵ درصد بوده است (Jabar Nezhad et al., 2010:279-286). داس و همکاران در سال ۲۰۱۲ Kermani et al., 2010:279-286) به مطالعه حذف زیستی فلز نیکل بوسیله باکتری سیانوباکتر که بررسی فلزات سمی و سنگین بوسیله این دسته از باکتری‌ها با مشکلات فراوانی کی باشد پرداختند و حذف فلز نیکل بوسیله اوسیلاتوریا لا توئیرنس⁵ را در

³ United States Environmental Protection Agency: USEPA

⁴ *Pseudomonas aeruginosa*

⁵ *Oscillatoriella laetevirens*

¹ National Toxicology Program: NTP

² World Health Organization: WHO

استفاده از ترازوی تجزیهای مدل SBP221 ساخت کارخانهٔ سارتوریس آلمان، با دقت چهار رقم اعشار توزین شد. سپس با اتحال در آب مقطر در داخل یک بالن ژوئه‌ی ۱۰۰ میلی‌لیتری محلول آن تهیه شد. برای تنظیم pH محلول‌های نیکل و کادمیم از هیدروکلریدریک اسید و سدیم هیدروکسید^۱ ۰ مولار استفاده شد.

تجزیهٔ عیارسنجدی یون‌های فلزی کادمیم و نیکل، قبل و بعد از هر آزمایش به‌وسیلهٔ دستگاه اسپکتروفوتومتر جذب اتمی^۲ AA240FS آمریکا Varain دانشکدهٔ شیمی دانشگاه مازندران به انجام رسید.

بررسی سطوح درگیر در فرایند جذب یون‌های فلزی کادمیم و نیکل

در این مطالعه برای تشخیص سطوح فعال و گروه‌های عاملی درگیر در فرایند جذب یون‌های فلزی مورد بررسی یعنی کادمیم و نیکل از تکنیک طیف‌سنجدی تبدیل فوریه‌ی زیرقرمز^۳ استفاده شد. برای انجام این آزمایش باکتری به‌صورت انفرادی و همچنین همراه با یون‌های فلزی نیکل و کادمیم در شرایط مشابه به مدت دو ساعت در محیط مایع قرار داده شد. آن‌گاه باکتری‌ها در سانتیریفیوژ تحت عمل جداسازی قرار گرفته و رسب حاصل به مدت ۲۴ ساعت در درجه حرارت ۶۰ درجهٔ سانتی گراد قرار گرفت. خشک‌کردن به این دلیل است که طیف حاصل از آب مزاحمت ایجاد نکند. سپس باکتری‌ها به صورت انفرادی و همراه با فلز نیکل و کادمیم، پودرشده و قرص پتاسیم برミد^۴. از آن‌ها تهیه شده، و با استفاده از تکنیک طیف‌سنجدی تبدیل فوریه‌ی زیرقرمز مورد تجزیهٔ و تحلیل قرار گرفت.

حدود ۸۵ میلی گرم بر کیلوگرم گزارش دادند (Das et al., 2012:836-845).

هدف این پژوهش، استفاده از باکتری‌های جداسازی‌شده از پساب کارخانهٔ تولید رنگ بابل به منظور حذف یون‌های فلزی نیکل و کادمیم از محلول‌های آبی است. سینتیک و ایزوترم جذب و اثرات دما و غلظت باکتری و pH محیط باکتری بر توانایی جاذب برای جذب و حذف یون‌های فلز نیکل و کادمیم نیز مورد بررسی قرار گرفته است.

روش پژوهش

جادب زیستی، ویژگی‌های ریخت‌شناختی جدایه‌ها و آزمون‌های بیوشیمیایی و مولکولی

باکتری جداسازی‌شده از پساب کارخانهٔ تولید رنگ بابل کنار به عنوان جاذب زیستی مورد استفاده قرار گرفت. باکتری از سه منظر مورفولوژی، بیوشیمیایی و مولکولی بررسی و درصد نزدیکی آن به کدام باکتری مشخص گردید برای بدست آوردن بیومس باکتریایی برای انجام آزمایش، باکتری‌های جداسازی شده، در محیط نوترین آگار داخل یک پلیت کشتداده شد، و سپس داخل یک ارلن در محیط کشت نوترین براش و در دمای ۴۰ درجهٔ سلسیوس داخل یک انکوباتور شیکر دار شرکت آرا تجهیز، ساخت ایران) با سرعت ۱۵۰ rpm به مدت ۷۲ ساعت گرمادهی شد تا باکتری رشد کند. در ادامه، با استفاده از سانتیریفیوژ (دستگاه سانتیریفیوژ سنتوریون ساینتیفیک^۱)، باکتری از محیط کشت جدا شده و به صورت یک تودهٔ زیستی در آمد. نمونه‌های پساب پس از جمع آوری، با روش علمی به آزمایشگاه میکروبیولوژی صنعتی دانشگاه مازندران انتقال یافت.

در این پژوهش تعداد هفت نمونه باکتری جداسازی و مورد بررسی قرار گرفت. برای ریخت‌شناختی کلی جدایه‌ها، پس از چندین مرحلهٔ تجدید-کشت و اطمینان از خلوص جدایه‌ها، براساس تفاوت در ویژگی‌های ریخت-شناختی، جدایهٔ W6 برای مطالعات بعدی انتخاب شد (جدول ۱). هم-چنین برای شناسایی جدایه‌ها آزمون‌های بیوشیمیایی بررسی فعالیت کاتالازی و اکسیدازی، MR-VP، TSI، تولید اندول، حرکت، تولید گاز هیدروژن سولفید و مصرف سیترات انجام شد. جدایه‌ها همچنین از نظر واکنش گرم و ریخت‌شناختی سلولی مورد بررسی قرار گرفتند (جدول های ۱ و ۲)

نتایج بیوشیمیایی دلیل بر فعالیت کاتالازی مثبت، فعالیت اکسیدازی منفی، باکتری سیترات را به عنوان منبع کربن استفاده کرده و حرکت در باکتری مثبت بوده و باکتری توانایی استفاده از قندهای لاكتوز، ساکارز و گلوکوز را نیز دارد.

تجهیهٔ محلول‌های یون‌های فلزی کادمیم و نیکل و تجزیهٔ عیارسنجدی آن‌ها

برای تجهیهٔ محلول یون‌های فلزی نیکل و کادمیم به ترتیب از نمک‌های استفاده شد. نمک‌های مورد نظر با

² Atomic absorption spectrometer (AAS =AA240FS Varian)

³ Fourier-transform infrared spectroscopy (FTIR)

⁴ Potassium bromide (KBr)

¹ Scientific Centurion

جدول ۱. ویژگی‌های ریخت‌شناختی جدایه‌های مورد بررسی در این تحقیق

عطر کلنی	برجستگی کلنی	حاشیه‌ی کلنی	منظره‌ی سطح کلنی	پیگمان‌زایی	شکل کلنی	جدایه‌ها
تند	برآمده	موج دار	آتششانی	کرم روشن	نامنظم (اسفنجی)	W-1
ملایم	کمی برآمده	صف و کامل	خشک	سفید	نقطه‌ای	W-2
تند	برآمده	صف و کامل	نرم و براق	سفید مات	کروی	W-3
تند	مسطح و صاف	صف و کامل	نرم و براق	زرد	کروی	W-4
ملایم	برآمده	صف و کامل	نیمه‌شفاف و براق	سفید مات	کروی	W-5
ملایم	برآمده	صف و کامل	نرم و براق	زرد روشن	نقطه‌ای	W-6
ملایم	برآمده	صف و کامل	نرم و براق	سفید	نقطه‌ای	W-7

جدول ۲. خصوصیات بیوشیمیایی جدایه‌های مورد بررسی در این تحقیق

تولید H ₂ S گاز	ریگ آمیزی گرم	حرکت	تولید اندول	صرف سیترات	TSI	فعالیت اکسیدازی	فعالیت کاتالازی	VP	MR	جدایه
-	+	+	-	+	K/K	+	+	-	-	W-1
-	+	+	-	+	A/A	-	+	-	+	W-2
-	+	-	-	+	K/K	+	-	+	+	W-3
-	+	+	-	+	A/A	-	-	-	+	W-4
-	+	+	-	+	K/K	-	+	-	-	W-5
-	+	+	-	+	A/A	-	+	+	+	W-6
-	+	+	-	+	K/A	-	+	+	+	W-7

مجزا، در مورد فلز کادمیم و نیکل ۳ نمونه برداشت شده و مورد تجزیه‌ی عیارسنجدی قرار گرفت. با توجه به سه تکرار بر هر فلز در نهایت ۳۶ نمونه برای فلز کادمیم و ۳۶ نمونه برای فلز نیکل صورت گرفت. سینتیک جذب برای برسی مکانیسم کنترل کننده در فرآیند جذب زیستی مانند انتقال جرم و واکنش شیمیایی بکار می‌رود. متداول‌ترین این مدل‌ها، مدل‌های شبه درجه اول و شبه درجه دوم هستند-2469:1999(Bailey et al., 1999).

(2479)

۱-۶-۱ مدل شبه درجه اول

در مدل شبه درجه اول که مدل لاگرگرن^۱ هم نامیده می‌شود، فرض می‌شود که سرعت اشغال سایت جذب مناسب با تعداد سایت‌های اشغال نشده است.

$$\frac{dq}{dt} = K_1(q_e - q_t) \quad (\text{معادله } 3)$$

در این معادله q_e و q_t به ترتیب میزان جذب فلز در زمان t و میزان جذب فلز در زمان تعادل بر حسب میلی گرم بر گرم بوده و K_1 ثابت سرعت واکنش درجه اول بر حسب min^{-1} است. با انتگرال‌گیری از معادله و اعمال شرط اولیه $q(0)=0$ معادله زیر بدست می‌آید:

$$\ln(q_e - q_t) = \ln q_e - K_1 t \quad (\text{معادله } 4)$$

از برآنش خطی این معادله بر داده‌های آزمایشگاهی، می‌توان متغیرها و مقادیر q_e و K_1 را از قرار زیر به دست آورد (Baral et al., 2006:216-222).

۱-۶-۲ مدل شبه درجه دوم

در مدل شبه درجه دوم، فرض می‌شود که سرعت اشغال سایت‌های جذب مناسب با محدود تعداد سایت‌های اشغال نشده است.

$$\frac{dq_t}{dt} = K_2(q_e - q_t)^2 \quad (\text{معادله } 5)$$

که در آن K_2 ثابت سرعت واکنش درجه دوم بر حسب $\text{g.mg}^{-1}.\text{min}^{-1}$ است. با انتگرال‌گیری از معادله و اعمال شرط اولیه $q(0)=0$ ، معادله زیر به دست می‌آید:

$$\frac{1}{q_e - q_t} = \frac{1}{q_e} + K_2 t \quad (\text{معادله } 6)$$

این معادله عموماً به شکل خطی زیر مورد استفاده قرار می‌گیرد:

$$\frac{t}{q_t} = \frac{1}{K_2 q_e^2} + \frac{1}{q_e} \quad (\text{معادله } 7)$$

با رسم نقاط t/q_t حسب t که از داده‌های آزمایشی به دست آمده‌اند، مقادیر K_2 و q_e را می‌توان از شیب و عرض از مبدأ خط حاصل، تعیین کرد (Padmesh et al., 2006:37-44; Nakano et al., 2001:496-500; Li et al., 2011:1177-1188).

۱-۶-۳ ایزوترم لانگمویر

ایزوترم لانگمویر عموماً برای تعیین پتانسیل جذب تعادلی و سنجش کارایی زیست توده‌های مختلف استفاده می‌شود. در ابتدا این مدل برای توصیف عملکرد کربن فعال در جذب گاز به کار گرفته شد. در ایزوترم لانگمویر، پیوندهای سطحی ناشی از نیروهای فیزیکی در نظر گرفته

بررسی اثر pH محلول یون‌های فلزی بر روی فرایند جذب عامل pH یکی از پارامترهای مهمی است که در جذب زیستی فلزات سنگین تأثیر قابل ملاحظه‌ای دارد، لذا برای انجام این آزمایش‌ها محلول‌های یون‌های فلزی نیکل و کادمیم با pH متفاوت در گستره‌ی ۲ تا ۱۲ و با گام ۲ تهیه شد. از pH متر دیجیتالی مدل ۷۸۰ ساخت شرکت متراوهم کشور سویس برای اندازه‌گیری pH محلول‌ها استفاده شد.

آزمایش‌های جذب زیستی، حذف یون‌های کادمیم و نیکل

به منظور بررسی جذب یون‌های فلزی کادمیم و نیکل توسط باکتری مورد مطالعه مقادیر معینی از آن‌ها با ترازوی دیجیتالی ساخت کشور آلمان (Mdl SBP221) با دقت ۰,۰۰۰۱ توزیون و در داخل ارلن مایر ۲۵۰ میلی-لیتری در مقدار معینی آب مقطر حل pH آن در مقدار معینی تنظیم شد. آن‌گاه نمونه به مدت ۳ ساعت در انکوباتور شیکردار با سرعت rpm ۱۰۰ گرمادهی شد. آن‌گاه، سوسپانسیون توسط کاغذ صافی ۴۵ میکرومتری و اتمن صاف شد. آن‌گاه نمونه‌ها توسط دستگاه جذب اتنی مورد تجزیه‌ی عیارسنجدی قرار گرفت. برای بررسی اثر غلظت اولیه‌ی یون فلزی، مقدار جاذب، pH اولیه‌ی محلول، آزمایش‌هایی در شرایط مختلف انجام شد تا شرایط بهینه‌ی ظرفیت جذب بیشینه شود. پارامتر q_{max} که بر حسب میلی گرم یون فلزی جذب شده به ازای یک گرم جاذب خشک بیان می‌شود، از رابطه‌ی زیر بدست آمد (Bulut et al., 2006:259-267):

که در آن V حجم محلول (لیتر)، C_i و C_e به ترتیب، غلظت اولیه و غلظت تعادلی یون فلزی، (میلی گرم بر لیتر)، M جرم جاذب (گرم) است.

$$q = \frac{V(C_i - C_e)}{M} \quad (\text{معادله } 1)$$

در صدق جذب می‌تواند از رابطه‌ی زیر بدست آید:

$$\frac{C_i - C_e}{C_i} \times 100 = \text{درصد جذب} \quad (\text{معادله } 2)$$

که در آن مشابه معادله ۱ پارامتر C_i غلظت اولیه فلز با واحد میلی گرم بر لیتر، C_e غلظت تعادلی یون فلزی با واحد میلی گرم بر لیتر می‌باشد.

بررسی سینتیکی و ایزوترمی فرایند جذب یون‌های فلزی کادمیم و نیکل

برای تعیین سینتیک واکنش جذب، در یک ظرف یک لیتری محلول‌های یون‌های فلزی نیکل و کادمیم با غلظت‌های ۴ و ۶ میلی گرم بر لیتر و با pH برابر شش، همراه با مقدار ۰,۲ گرم باکتری در ۳۷ درجه‌ی سانتی گراد گرمادهی شد. در زمان‌های مشخص صفر (لحظه اول)، ۵، ۱۰، ۱۵، ۲۰، ۲۵، ۳۰، ۴۰، ۹۰، ۱۲۰، ۳۰۰، ۴۰۰ و ۱۴۴۰ دقیقه مقدار ۵ میلی لیتر از محلول برای عیارسنجدی یون‌های فلزی آنالیز شد. آزمایش‌های سینتیک شامل ۳ تیمار و برای همه‌ی زمان‌ها انجام گردید. به عنوان نمونه در زمان ۱۵ دقیقه بعد از تماس باکتری با یون‌های فلزی مورد مطالعه، به طور

¹ Lagergren

ارزیابی جذب فعال یا غیر فعال فلز نیکل و کادمیم به منظور به دست آوردن باکتری غیرفعال، سلول‌هایی که در دمای ۶۰ درجه سانتی‌گراد به مدت ۴۸ ساعت خشک شده بودند استفاده گردید. بعد انجام این مرحله به منظور نشان دادن غیرفعال شدن باکتری‌ها، سلول‌های تیمار شده به روش فوق در محیط کشت نوترینت آگار به روش خطی کشت داده شدند. برای انجام این آزمایش هر کدام از سلول تیمار شده و همچنین سلول‌های شاهد را به مدت دو ساعت در مجاورت محلول فلزی نیکل و کادمیم با میزان هشت میلی‌گرم بر لیتر در دمای ۳۷ درجه سانت‌گراد داخل یک انکوباتور شیکردار (۱۵۰ rpm) قرار گرفت. پس از گذشت این زمان با استفاده از سرنگ، پنج میلی‌لیتر از نمونه را برداشته و از فیلتر سرسنگی با مش ۰/۴۵ میکرومتر گذرانده شد تا نمونه عاری از باکتری باشد. سپس میزان فلز نیکل و کادمیم در محلول بوسیله دستگاه جذب اتمی اندازه گیری شد (Kulkarni et al., 2014:1628-1635).

شرح، بحث و یافته‌ها

شناسایی مولکولی و درخت فیلوزنی جدایه منتخب با تعیین توالی ژن 16S rDNA
جهت شناسایی مولکولی جدایه منتخب واکنش زنجیره ای پلیمراز ژن 16S rDNA به کمک پرایمر های عمومی F 27F و R 1492R انجام شد. محصول PCR با کمک الکتروفورز ژل آگارز رنگ شده با safe stain[®] بررسی شد.

ژن 16S rDNA جدایه W-6 توسط شرکت ماکروژن کره جنوبی تعیین توالی شد. با انجام BLAST و مقایسه اطلاعات موجود در بانک ژنی NCBI، درصد همولوژی جدایه W-6 با سایر باکتری‌های بانک اطلاعاتی به دست آمد. نتایج BLAST نشان داد که جدایه منتخب با ۹۹/۶۲٪ همولوژی به *Halobacillus* تزویری شباهت داشت. درخت فیلوزنی جدایه W-6 با استفاده از نرم افزار MEGA 6 با روش Maximum likelihood رسم شد. بنابراین برای تایید این آزمایش های بیوشیمیایی و مورفولوژیکی، آزمایش مولکولی صورت گرفت و باکتری با تقریب حدود ۹۹ درصد به جنس *Halobacillus* و گونه *Halobacillus trueperi* نزدیک است.

۲- بررسی خصوصیات سطح باکتری قبل و بعد از فرایند جذب
ساختار سطحی سلول باکتری بویژه بخش‌های دیواره سلولی که دارای جنس پپتیدوگلیکانی است، قبل از اتصال فلز دارای ساختاری منظم و منسج می‌باشد (شکل ۲، بخش ج) اما بعد از آنکه فلز‌های کادمیم و نیکل به گروه‌های سطحی دیواره سلولی بویژه کربوکسیل (COO⁻) متصل گردیده و تغییراتی دیده می‌شود (شکل ۲، بخش الف و ب) البته برای تایید این فرایند، و درک صحیح تر این جذب زیستی، درصد حضور فلزات و عناصر در باکتری را می‌توان قبل و بعد از اتصال فلزهای مذکور مورد بررسی قرار داد.

می‌شوند. بنابراین جذب فقط به صورت تک لایه‌ای انجام می‌شود و فرض بر این است که میل کششی همه جایگاه‌ها برای جذب شونده یکسان است. این ایزوترم به طور وسیعی برای توصیف رفتار تعادلی بین فاز مایع و یک فاز جامد استفاده می‌شود.

این مدل به خوبی با مقادیر وسیعی از اطلاعات آزمایشگاهی مطابقت دارد. این ایزوترم به شکل سهمی است و به صورت زیر بیان می‌شود:

$$q_e = \frac{q_{max} b_1 C_e}{1 + b_1 C_e} \quad (معادله ۸)$$

که در آن q_e بیانگر تعداد کل سایت‌های جاذب زیستی است که برای پیوند با فلزات در دسترس هستند. دارای یکای میلی گرم بر گرم است. پارامتر b_1 بیانگر تعداد سایت‌های پیوند واقعی است که از جذب شونده، اشغال شده است. ثابت تعادل لانگمویری b_1 ، دارای یکای لیتر بر میلی گرم می‌باشد. مدل لانگمویر برای تخمین میزان جذب به کار می‌رود. ثابت b_1 میزان وابستگی بین جایگاه‌های فعال و فلز را نشان می‌دهد و تابعی از انرژی جذب می‌باشد. مقدار بالای b_1 نشانگر شبیه تند در ابتدای منحنی ایزوترم جذب می‌باشد که نماینده میزان بالای کشش بین جاذب و جذب شونده است. بنابراین برای یک جاذب بطور کلی بالا بودن q_{max} و شیب تند در ابتدای منحنی مطلوب به نظر می‌رسد (Escudero et al., 2013: 284-293; Zha et al., 2017: 129-138).

۶- ایزوترم فرونولیچ

این مدل در سال ۱۹۰۷ به عنوان یک رابطه‌ی تجربی توسط فرونولیچ ارائه شد اما بعدها برای مدلسازی جذب چند لایه‌ای روی سطوح ناهمگن یا سطوحی با جایگاه‌های فعال متفاوت از نظر کنش و میل ترکیبی با جذب شونده به کار گرفته شد. این مدل بر عکس مدل لانگمویر، بیشینه ظرفیت جاذب را مشخص نمی‌کند و به همین علت فقط در غلظت‌های پایین تا متوسط کاربرد دارد. در این مدل فرض می‌شود ابتدا جایگاه‌های قوی تر پر می‌شوند و قدرت پیوندی با افزایش میزان پرشدگی جایگاه، کاهش می‌یابد. این ایزوترم به شکل نمایی است و به شکل زیر ارائه می‌شود:

$$q_e = K_F C^{1/n_F} \quad (معادله ۹)$$

که در آن K_F و n_F ثابت‌های فرونولیچ می‌باشند. در ایزوترم فرونولیچ، n_F به ترتیب میزان و شدت جذب را نشان می‌دهند. مقدار K_F بین یک تا ده نشان‌دهنده جذب مناسب می‌باشد (Bas et al., 2007: 836-845).

تأثیر دما محلول فلزی بر جذب فلز نیکل و کادمیم
برای تعیین دمای بهینه در یک ظرف یک لیتری محلول فلزی نیکل با غلظت ۸ میلی گرم بر لیتر افزوده و مقدار ۰/۲ گرم باکتری به آن اضافه گردید. سپس ارلن حاوی باکتری و فلز‌های نیکل و کادمیم در دمایهای ۵، ۱۵، ۳۰، ۴۵ و ۶۰ درجه سانتی‌گراد به مدت دو ساعت قرار گرفت. پس از گذشت این زمان با استفاده از سرنگ، پنج میلی‌لیتر از نمونه را برداشته و از فیلتر سرسنگی با مش ۰/۴۵ میکرومتر گذرانده شد تا نمونه عاری از باکتری باشد. سپس میزان فلز نیکل در محلول بوسیله دستگاه جذب اتمی اندازه گیری شد (Bulut et al., 2006: 259-267).

¹ *Halobacillus trueperi*

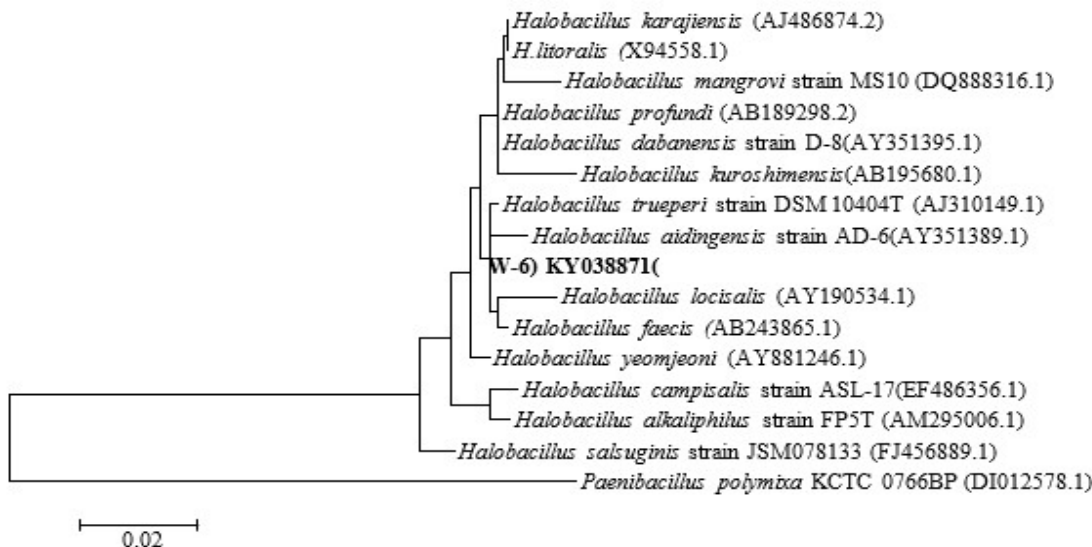
بررسی حذف یون‌های نیکل و کادمیم به‌وسیله‌ی باکتری زنده و مرده (فعال و غیرفعال)

نتایج آزمون‌های حذف یون‌های فلزی به‌وسیله‌ی باکتری مرده و زنده (شکل ۴)، نشان داده است که جدایه‌ی مورد مطالعه، کاندیدای مناسب برای حذف یون فلزی نیکل و کادمیم از محلول‌های آبی است. بیشتر جذب فلز به صورت غیرفعال است. در نتیجه‌ی می‌توان از این جاذب به صورت مرده و غیرفعال نیز استفاده کرد. البته نتایج این بخش نشان داده که باکتری مورد مطالعه بصورت غیر اکتیو و مرده برای جذب فلز نیکل دارای رادنمای بالاتری در مقایسه با فلز کادمیم است.

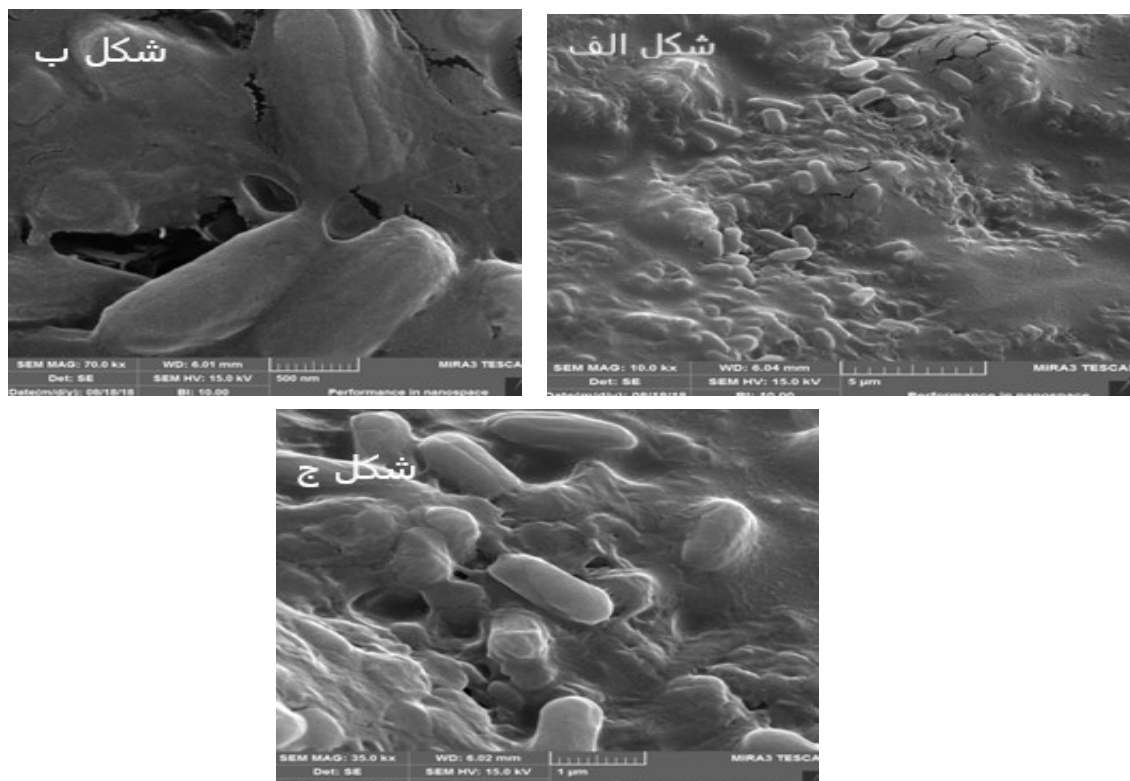
بررسی اثر دما بر فرایند جذب یون‌های فلز نیکل و کادمیم بنابراین در محدوده دمایی بین ۲۰ تا ۴۰ درجه سانتی‌گراد میزان جذب افزایش می‌یابد، به طوری که در درجه حرارت ۴۰ درجه سانتی‌گراد بیشترین میزان جذب را مشاهده می‌نماییم. در نتیجه با افزایش دما مقدار جذب افزایش می‌یابد. زیرا با افزایش دما تعداد برخوردها بین یون‌های فلزی کادمیم و نیکل و سطح جاذب زیاد شده و میزان جذب افزایش می‌یابد (شکل ۵).

اثر پارامتر pH بر جذب‌های فلز‌های مورد مطالعه بوسله جدایه منتخب

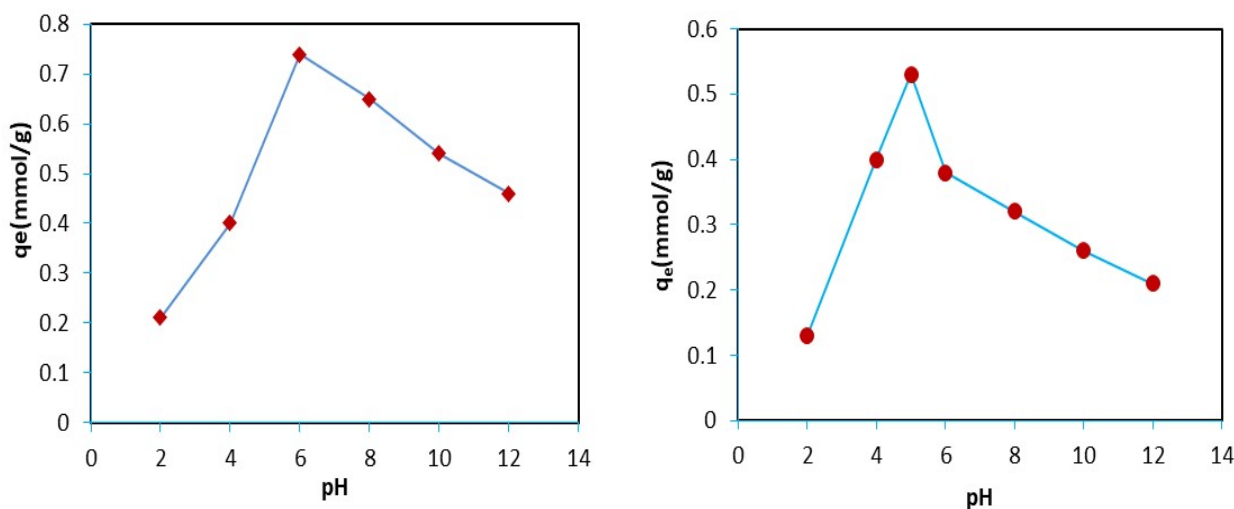
نتایج این بررسی نشان داد که pH های خیلی بالا و خیلی پایین برای هر دو فلز نیکل و کادمیم منجر به کاهش میزان جذب می‌شود. همانطور که در شکل ۳ نشان داده شده است. میزان جذب فلز نیکل بوسیله باکتری در pH کمتر از سه اندک است زیرا بین یون‌های مثبت و یون فلزی نیکل برای اتصال به سطح باکتری رقابت به وجود می‌آید، زیرا تعداد سطوح فعال باکتری *halobacillus* تروپری ثابت و فلز‌های نیکل و کادمیم برای رسیدن به این سطوح با یون‌های پروتون محلول رقابت می‌کنند و باعث کاهش جذب می‌شود. با افزایش pH جذب نیز افزایش می‌یابد. بیشینه جذب در pH حدود شش است ولی در pH بالای هشت جذب به تدریج کاهش می‌یابد. در خصوص فلز کادمیم pH بهینه جذب در حدود پنج بوده و در محدوده‌های زیر دو جذب به شدت کاهش می‌یابد و بالای شش نیز جذب شروع به کم شدن می‌گردد (Masoumi et al., 2016:950-957).



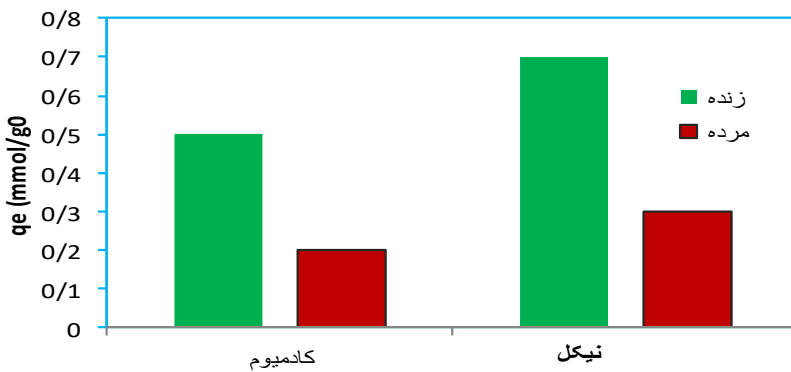
شکل ۱- دندروگرام توالی ژن *rDNA 16S* جدایه W-6 با شماره دستیابی KY038871 که با جنس *halobacillus* قربان نشان داد. اعداد ذکر شده در محل انشعاب، نشانگر درصد نمونه گیری Bootstrap از ۱۰۰۰ نمونه است. باکتری سودوموناس آنروزینوز به عنوان Out Group انتخاب شده است.



شکل ۲- ریزنگارهای میکروسکوپی الکترون روبشی باکتری- نیکل (شکل الف)، باکتری- کادمیم (شکل ب) و باکتری بدون اتصال فلز(شکل ج).



شکل ۳- اثر pH بر روی فرایند جذب یون فلزی؛ (راست) نیکل، (چپ) کادمیم بهوسیلهٔ باکتری (دما ۳۷ درجهٔ سانتی گراد، مقدار جاذب ۱ گرم بر لیتر، غلظت اولیهٔ یون فلزی ۴ میلی گرم بر لیتر، زمان ماند ۳ ساعت).



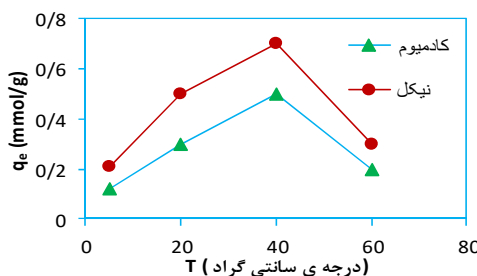
شکل ۴- حذف یون‌های فلزی نیکل و کادمیوم بهوسیلهٔ باکتری زنده و مرده (فعال و غیر فعال).

رسم نمودار خطی لانگمویر ماکریزم جذب فلز نیکل و کادمیوم بدست آمد و بر این اساس جدول سه نیز طراحی گردید.

سینتیک فرایند حذف یون‌های فلزی نیکل و کادمیوم بهوسیلهٔ باکتری مورد مطالعه

همان‌گونه که در بخش مواد و روش‌ها بیان شد، بررسی سینتیک حذف یون‌های فلزی نیکل و کادمیوم بهصورت مجزا انجام شد. نتیجه‌ی بررسی - سینتیک فرایند حذف یون‌های فلزی نیکل بهوسیلهٔ باکتری جadasازی شده در شکل ۹ نشان داده است. همان‌طور که مشاهده می‌شود فرایند جذب یون‌های فلزی نیکل در دقایق آغازین واکنش از سینتیک سریعی برخوردار است که به تدریج از شبیه آن کاسته می‌شود. بیشترین میزان حذف یون‌های فلزی نیکل در ۱۵ دقیقه‌ی اول صورت گرفته و در بعد از آن فرایند جذب به آرامی ادامه یافته و در مدت زمان ۹۰ دقیقه به تعادل رسید. این موضوع از جهت صنعتی حائز اهمیت است که در مدت زمان نسبتاً کم باکتری می‌تواند بیشتر فلز را حذف نماید.

در مورد حذف یون‌های فلزی کادمیوم (شکل ۱۰) مشاهده گردید که فرایند جذب فلز با آهنگ کندری در مقایسه با یون‌های فلزی نیکل صورت می-گیرد. البته برای تفسیر دقیق‌تر این موضوع رابطه‌های ایزوترم مورد تجزیه و تحلیل قرار گرفته است.



شکل ۵- اثر پارامتر دما بر ظرفیت جذب باکتری مورد مطالعه برای یون‌های فلزی نیکل و کادمیوم.

در دمای بالاتر از دمای مطلوب جهت رشد باکتری می‌تواند به دلیل از دست رفتن فعالیت متابولیکی سلول در دمای‌های بالا باشد (بالاتر از ۴۵ درجه سلسیوس) که این موضوع باعث به تأخیر افتادن فرایند تقسیم سلولی می‌گردد تا زمانی که باکتری خود را با شرایط دمایی موجود سازگار کرده و رشد خود را مجدد آغاز کند. همچنان تأخیر در رشد باکتری در دمای ۴۵ درجه سلسیوس به دلیل کاهش فعالیت آنزیم‌های اختصاصی است که باعث می‌شود باکتری دیرتر فاز لگاریتمی خود را آغاز کند.

مدل ایزوترم جذب سطحی

شکل خطی مدل ایزوترم لانگمویر در نمونه‌های مورد مطالعه به صورت معادله زیر قرار می‌گیرد.

$$\frac{C_e}{q_e} = \frac{1}{q_{\max} b} + \frac{C_e}{q_{\max}} \quad (10)$$

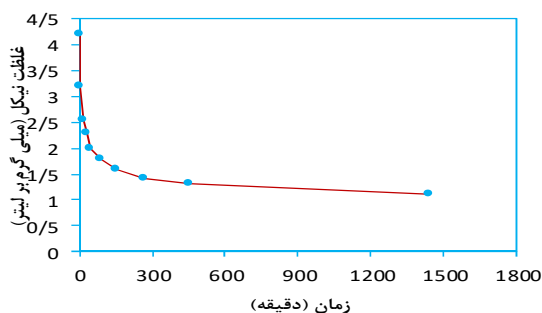
این معادله تبدیل به معادله زیر می‌گردد: معادله (11)

$$\frac{1}{q_e} = \frac{1}{q_{\max} b L C_e} + \frac{1}{q_{\max}} \quad (11)$$

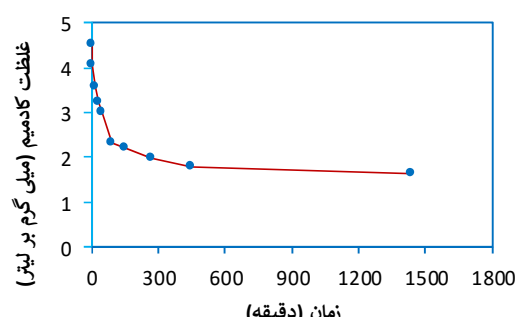
که در آن، q_e بیان‌گر مقدار تعادلی فلز جذب شده، q_{\max} ظرفیت جذب بیشینه‌ی جاذب و b ثابت لانگمویر ($\text{mg}/(\text{mg} \cdot \text{L})$) و نشان‌دهنده‌ی قدرت پیووند جاذب با فلز است که به آن ضریب تمایل به جذب و انرژی جذب زیستی هم می‌گویند. وقتی مقدار b بین صفر تا یک باشد، جذب مطلوب است (Kulkarni et al., 2014:1628-1635) در برابر C_e ، پارامترهای مدل لانگمویر به دست می‌آید (جدول ۳). با توجه مقدار R^2 برای جذب هردو یون فلزی توسط باکتری مورد مطالعه، می‌توان گفت که داده‌های تجربی با ایزوترم لانگمویر به خوبی توصیف می‌شوند. از طرف دیگر مقادیر q_{\max} پیش‌بینی شده توسط مدل لانگمویر با داده‌های تجربی هم خوانی خوبی دارد. شکل‌های ۵ و ۶ ایزوترم لانگمویر جذب یون‌های فلزی کادمیوم و نیکل در شرایط بهینه را نشان می‌دهد. از طرفی با

جدول ۳ - پارامتر های لانگمویر برای جذب یون های فلزی نیکل و کادمیم

q_m (میلی مول بر گرم)	b_L (لیتر بر میلی مول)	R^2	یون فلزی
۰/۷۶	۲۲/۸۹	۰/۹۹۶	کادمیم
۰/۵۵	۶۰/۶	۰/۹۹۶	نیکل



شکل ۹ - سینتیک فرایند حذف یون های فلزی نیکل به وسیله بacterی مورد مطالعه.

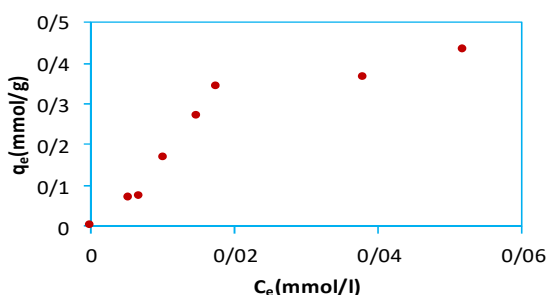


شکل ۱۰. سینتیک فرایند حذف یون های فلزی کادمیم به وسیله بacterی مورد مطالعه.

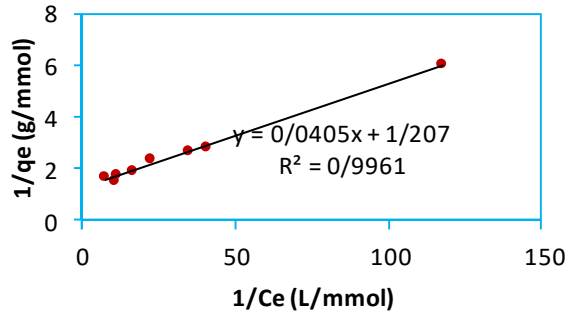
نتیجه گیری

در مطالعه ای که مقصومی و همکاران روی جذب ریستی فلز های سمی و سنگین نیکل و سرب توسط باکتری *Curtobacterium sp. FM*

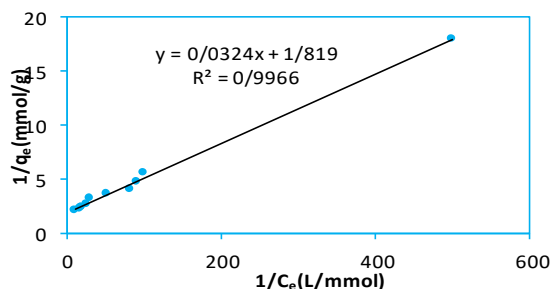
۰۱ انجام شد نیز جذب ابتدایی سریع و جذب ثانویه با سرعت پایین اتفاق افتاد که مشابه این تحقیق بوده است (Masoumi et al., 2016:950). همچنین بررسی جذب نیکل توسط باکتری *Bacillus laterosporus* (MTCC 1628) ۹۵۷ علاوه بر دو مرحله ای بودن سینتیک جذب، نشان داد که سرعت جذب در ۱۰ دقیقه ابتدای آزمایش بسیار بالا بود (Kulkarni et al., 2014:1628-1635). باکتری *halobiasilius* تروپری مورد مطالعه قرار گرفته و دارای بیشینه میزان جذب بالایی برای فلز کادمیم و نیکل به ترتیب ۰/۷۶ و ۰/۵۵ میلی مول بر گرم وزن خشک



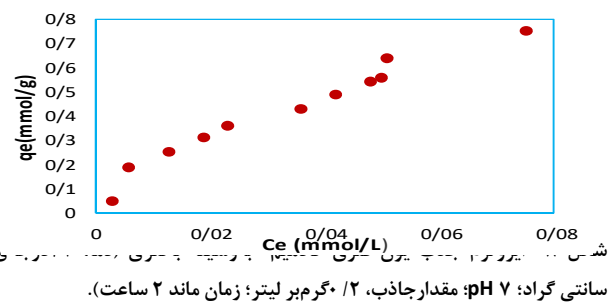
شکل ۶ - نمودار جذب فلز نیکل به وسیله بacterی (دما، ۳۷ درجه سانتی گراد؛ pH ۷؛ مقدار جاذب، ۰/۰۵ مول بر لیتر؛ زمان ماند ۲ ساعت).



شکل ۷ - ایزوترم لانگمویر برای جذب یون فلزی نیکل به وسیله بacterی جداسازی شده (دما، ۳۷ درجه سانتی گراد؛ pH ۷؛ مقدار جاذب، ۰/۰۵ مول بر لیتر؛ زمان ماند ۲ ساعت).



شکل ۹ - ایزوترم لانگمویر برای جذب یون فلزی کادمیم به وسیله بacterی جداسازی شده (دما، ۳۷ درجه سانتی گراد؛ pH ۷؛ مقدار جاذب، ۰/۰۵ مول بر لیتر؛ زمان ماند ۲ ساعت).



شکل ۱۰ - نمودار جذب فلز کادمیم به وسیله بacterی (دما، ۳۷ درجه سانتی گراد؛ pH ۷؛ مقدار جاذب، ۰/۰۵ مول بر لیتر؛ زمان ماند ۲ ساعت).

<https://onlinelibrary.wiley.com/doi/abs/10.1002/clen.201700356>

[6] Amini M., Younesi H., Bahramifar N., Lorestani A.A.Z., Ghorbani F., Daneshi A., Sharifzadeh,.(2008). Application of response surface methodology for optimization of lead biosorption in an aqueous solution by *Aspergillus niger*. *J. Hazard. Mater.*, 154(1-3), 694-702. (8 pages).

https://www.gjesm.net/article_23205.html

[7] Amoozegar M.A., Siroosi M. (2015). Hydrolytic enzymes in halophilic bacteria, properties and biotechnological potential. *Halophiles*. (2015). 355-378 (23 pages).

https://link.springer.com/chapter/10.1007/978-3-319-14595-2_13

[8] Ansari M.I., Malik A. (2007). Biosorption of nickel and cadmium by metal resistant bacterial isolates from agricultural soil irrigated with industrial wastewater. *Bioresour. Technol.*, 98(16), 3149-3153. (5 pages).

<https://www.sciencedirect.com/science/article/abs/pii/S096085240600530X>

[10] Aranda-Garcia E., Cristiani-Urbina, E., 2018. Kinetic, Equilibrium, and Thermodynamic Analyses of Ni (II) Biosorption from Aqueous Solution by Acorn Shell of Quercus crassipes. *Water Air Soil Pollut.* 229(4), 119-136. (17 pages).

<https://inis.iaea.org/records/5aaam-r8m76>

[11] Ayangbenro AS., Babalola O.O. (2017).A new strategy for heavy metal polluted environments: a review of microbial biosorbents. *Int. J. Environ. Res. Public Health.*19;14(1), 94. (16 pages).

<https://pubmed.ncbi.nlm.nih.gov/28106848/>

[12] Bailey S.E., Olin T.J., Bricka R.M., Adrian D.D. [1999]. A review of potentially low-cost sorbents for heavy metals. *Water Res.*33(11), 2469-2479. (11 pages).

<https://www.sciencedirect.com/science/article/abs/pii/S0043135498004758>

[13] Baral S.S., Das S.N., Rath P. [2006]. Hexavalent chromium removal from aqueous solution by adsorption on treated sawdust. *Biochem. Eng. J.*31(3), 216-222. (7 pages).

<https://www.sciencedirect.com/science/article/abs/pii/S1369703X06002014>

[14] Baş D., Boyacı I.H. [2007]. Modeling and optimization I: Usability of response surface methodology. *Int. J. Food Eng. International.*78(3), 836-845. (9 pages).

<https://www.sciencedirect.com/science/article/abs/pii/S0260877405007843>

[15] Bulut Y., Aydin H. 2006. A kinetics and thermodynamics study of methylene blue adsorption on wheat shells. *Desalination*, 194(1-3), 259-267. (8 pages).

بوده است. این مطالعه نشان داد، که جذب زیستی فعال و غیر فعال روش مناسبی برای حذف فلزات سمی و سنگین از محلول‌های آبی است. در این رابطه باکتری جداسازی شده از پساب کارخانه‌ی رنگ بابل کنار از کارایی خوبی برخوردار بوده و می‌تواند کاندید مناسبی برای حذف فلزات سنگین از محیط‌های آبی باشد.

مشارکت نویسنده‌گان

این مقاله از پایان نامه آقای داؤد صیامیان گرجی، به راهنمایی جناب آقای دکتر آیت نصرالهی عمران از دانشگاه آزاد اسلامی، واحد تکابن، و مشاوره آقای دکتر سلمان احمدی اسب چین از دانشگاه مازندران، انجام گردید. کار تحقیق و پایان نامه در دانشگاه مازندران و در آزمایشگاه میکروبیولوژی صنعتی آقای دکتر سلمان احمدی اسب چین، نویسنده مسئول این مقاله انجام گردید، نگارش مقاله نیز بر عهده ایشان بوده است.

تعارض منافع

این مقاله بر اساس «تعارض حرفه‌ای و مالکیت فکری: ارتقای سازمانی و نظریات تخصصی شخصی اینجانب به عنوان نویسنده مسئول گردآوری شده است. » هیچگونه تعارض منافع توسط نویسنده‌گان بیان نشده است.

منابع

[1].Abd El-Latif M. M., Ibrahim A.M. (2009). Adsorption, kinetic, and equilibrium studies on removal of basic dye from aqueous solutions using hydrolyzed oak sawdust. *Desalin. Water Treat.*6(1-3), 252-268. (16 pages).
<https://www.sciencedirect.com/science/article/pii/S194439862414475?via%3Dihub>

[2].Afyni M. (2011). Ion-exchange process for ammonium removal and release using natural Iranian zeolite. *Appl. Clay Sci.*, 51(3), 323-329. (9 pages).
<https://linkinghub.elsevier.com/retrieve/pii/S0956053X17307122>

[3]Ahluwalia S.S., Goyal D.(2007). Microbial and plant-derived biomass for removal of heavy metals from wastewater. *Bioresour. Technol.* 98(12), 2243-2257.(14 pages).

<https://www.sciencedirect.com/science/article/abs/pii/S0960852405005675>

[4]Al-Asheh S., Duvnjak Z. (1997). Sorption of cadmium and other heavy metals by pine bark. *J. Hazard. Mater.*56(1-2), 35-51. (16 pages).
<https://www.sciencedirect.com/science/article/abs/pii/S030438949700040X>

[5]Al-Gheethi A., Mohamed R., Noman E., Ismail N., Kadir, O.A. (2017). Removal of Heavy Metal Ions from Aqueous Solutions Using *Bacillus subtilis* Biomass Pre-Treated by Supercritical Carbon Dioxide. *Clean - Soil, Air, Water*, 45(10), 1700356. (192 pages).

metal ions onto a novel IDA-chelating resin: isotherm and kinetic modeling. *Water Res.* 45(3), 1177-1188. (10 pages).

<https://www.sciencedirect.com/science/article/abs/pii/S0043135410007712>

[22] Padmesh T.V.N., Vijayaraghavan K., Sekaran G., Velan M., 2006. Application of two-and three-parameter isotherm models: biosorption of acid red 88 onto *Azolla microphylla*. *Bioremediation J.* 10(1-2), 37-44. (7 pages).

<https://www.tandfonline.com/doi/full/10.1080/10889860600842746>

[23] Nakano Y., Takeshita K., Tsutsui, T. (2001). Adsorption mechanism of hexavalent chromium by redox within condensed-tannin gel. *Water Res.* 35(2), 496-500. (5 pages).

<https://www.sciencedirect.com/science/article/abs/pii/S0043135400002797>

[24] Masoumi F., Khadivinia E., Alidoust L., Mansourinejad Z., Shahryari S., Safaei, M., Noghabi, K. A.(2016). Nickel and lead biosorption by *Curtobacterium* sp. FM01, an indigenous bacterium isolated from farmland soils of northeast Iran. *J. Environ. Chem. Eng.* 4(1), 950-957. (7 pages).

<https://www.sciencedirect.com/science/article/abs/pii/S2213343715301147>

[25] Zha B., Liu A., Wu G., Li D., Guan Y.(2017). Characterization of heavy metal desorption from road-deposited sediment under acid rain scenarios. *J. Environ. Sci.* 51, 284-293. (9 pages).

<https://www.sciencedirect.com/science/article/abs/pii/S1001074216302376>

<https://www.sciencedirect.com/science/article/abs/pii/S0011916406003791>

[16] Carletti G., Pavan P., Bolzonella D., Cavinato C.[2013].Occurrence and Removal of Heavy Metals from Industrial and Municipal Wastewater: a Comparison between MBR and Conventional Activated Sludge Processes (CAS)", Interuniversity Consortium "Chemistry for the Environment (INCA), via delle Industrie 2118 Marghera, Venice, Italy.1329-1336.. (17 pages).

<https://www.sciencedirect.com/science/article/abs/pii/S0043135418300630>

[17] Das S., Biosorption of chromium and nickel by dried biomass of *Cyanobacterium Oscillatoria laetevirens*. *Int. J. Environ. Sci. Technol.* 3(1): 341-352. (11 pages).

<https://www.semanticscholar.org/paper/Biosorption-of-chromium-and-nickel-by-dried-biomass-Das/40fad5a71e2cf6d5431f62cf1ade8665d3c7a4ea>

[18] Escudero C., Poch J., Villaescusa I.(2013). Modelling of breakthrough curves of single and binary mixtures of Cu (II), Cd (II), Ni (II), and Pb (II) sorption onto grape stalks waste. *Chem. Eng. J.* 217, 129-138... (9 pages).

<https://www.sciencedirect.com/science/article/abs/pii/S1385894712015902>

[19] Kulkarni R.M., Shetty K.V., Srinikethan G. [2014]. Cadmium (II) and nickel (II) biosorption by *Bacillus laterosporus* (MTCC 1628). *J. Taiwan Inst. Chem. Eng.* .45(4), 1628-1635. (7 pages).

<https://www.sciencedirect.com/science/article/abs/pii/S1876107013003064>

[20] Jabbari Nezhad Kermani A., Faezi M., Khosravan A., Farahmand A., Shakibaei M., (2010). Cadmium bioremediation by metal-resistant mutated bacteria isolated from active sludge of industrial effluent. *J. Environ. Health Sci. Eng.* 7(4): 279-286. (7 pages).

<https://www.sid.ir/paper/566954/en>

[21] Li L., Liu F., Jing X., Ling P., Li A. (2011).Displacement mechanism of binary competitive adsorption for aqueous divalent

AUTHOR(S) BIOSKETCHES

Nasrolahi Omran, A., Associate Professor of Microbiology, Faculty of Medicine Islamic Azad University Tonekabon Branch, Tonekabon, Iran.

✉ ayat51@yahoo.co.in

DOI [0000-0003-3381-0467](https://doi.org/0000-0003-3381-0467)

Syamian Gori, D., M.Sc candidate, biotechnology, Faculty of Basic Science, Islamic Azad University, Tonekabon Branch, Tonekabon, Iran

✉ davood_siyamiyan@yahoo.co

DOI

Ahmady-Asbchin, S., Associate Professor of Microbiology, Faculty of Basic Science, University of Mazandaran, Babolsar, Iran.

✉ sa.ahmadi@umz.ac.ir

DOI [0000-0001-6079-1842](https://doi.org/0000-0001-6079-1842)

پایه این قسمت توسط نشریه تکمیل می گردد:

**HOW TO CITE THIS ARTICLE****Citation (Vancouver)**

DOI <http://doi.org/10.52547/joc.15.60.8>

URL <http://joc.inio.ac.ir/article-1-1763-fa.html>

DOI <https://orcid.org/0000-0001-6079-1842>

**COPYRIGHTS**

©2021 The author(s). This is an open access article distributed under the terms of the Creative Commons Attribution (CC BY 4.0), which permits unrestricted use, distribution, and reproduction in any medium, as long as the original authors and source are cited. No permission is required from the authors or the publishers.